

Приложение

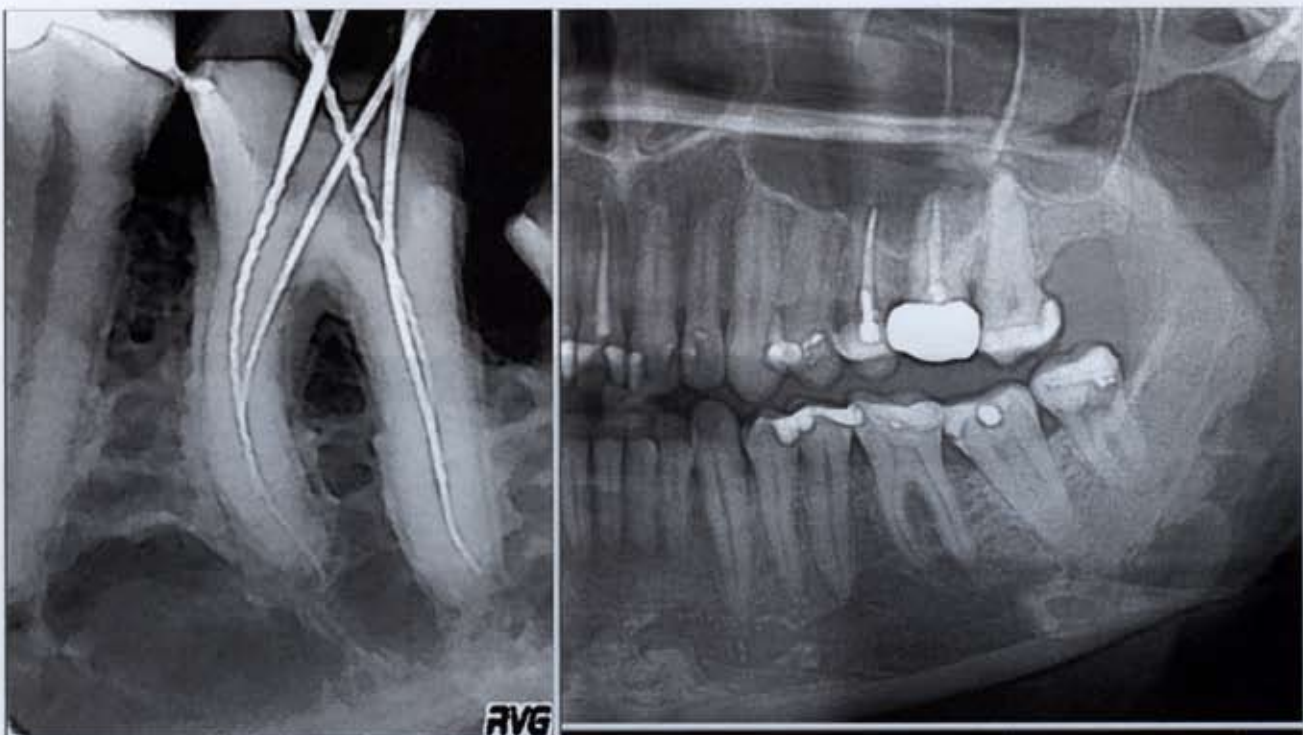
Коллекция рентгенограмм



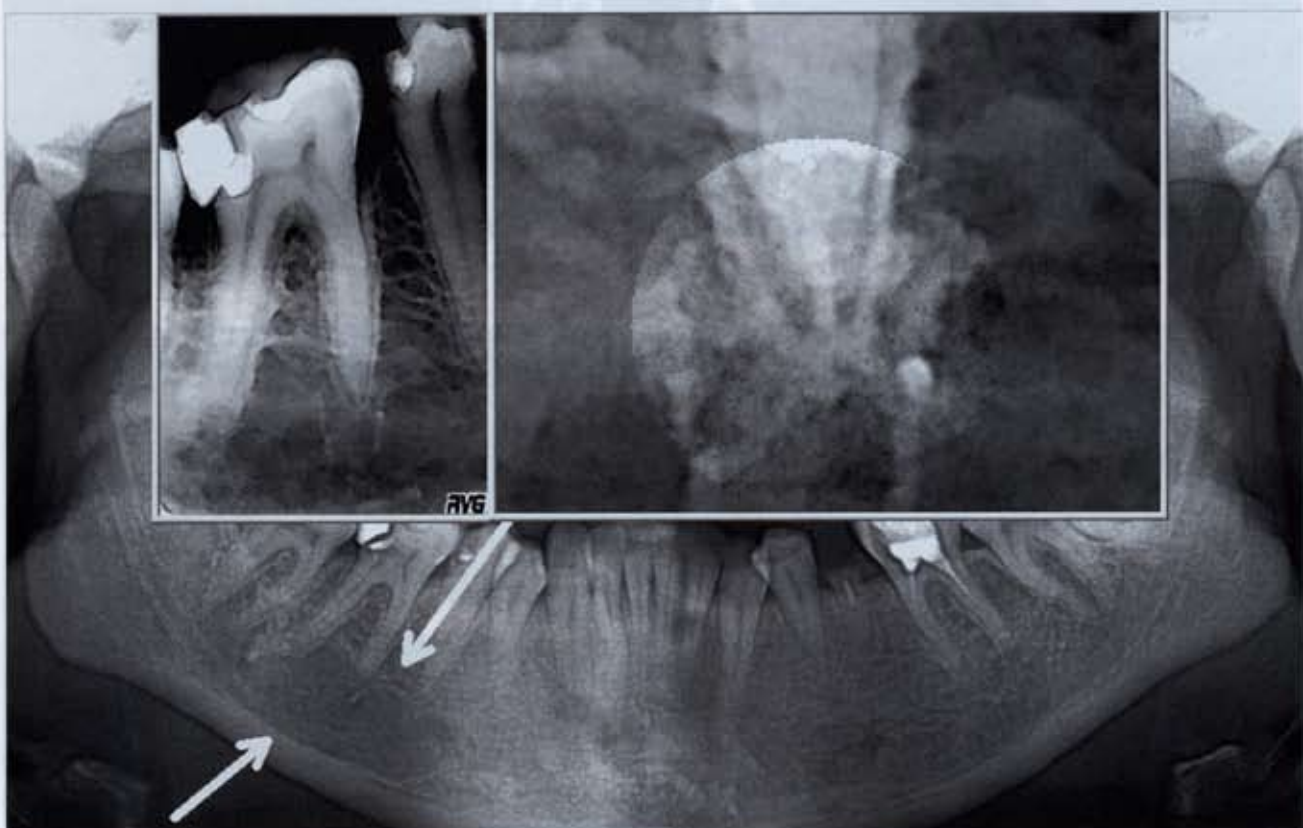
332. Ортопантомограмма. Костная ткань с равномерным рисунком средней плотности



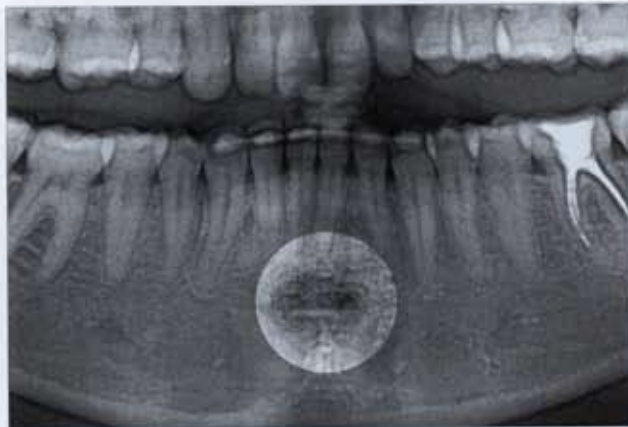
333. Ортопантомограмма. Высокоминерализованная плотная костная ткань



334. Ортопантомограмма. Неравномерная костная структура — широкие костномозговые пространства чередуются с участками повышенной плотности



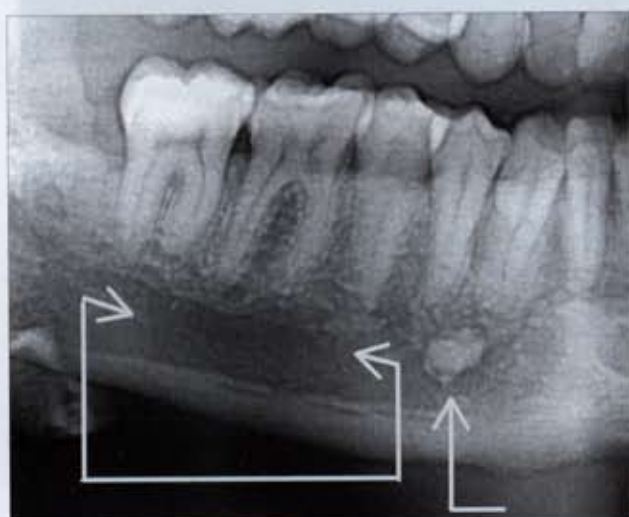
335. Комбинированное изображение — ортопантомограмма, ИРЗ 3.6, ИРЗ 3.6, увеличенный фрагмент. Различное строение костной ткани в области тела нижней челюсти справа и слева. Случай, аналогичный строению на рис. 60. Справа участок, лишенный жесткого рисунка, слева — обычная костная структура. Компактная пластиинка альвеолы в области апексов корней 4.6 сохранина в полном объеме. Справа — при развитии апикальной гранулемы в пределах губчатого вещества характерной рентгенологической картины какое-то время может не быть, слева — на рентгенограмме будут заметны уже небольшие деструктивные изменения



336. Фрагмент ортопантомограммы. Область подрезцового давления (*impressio subincisiva*) нередко имитирует участок деструкции. В таком случае с целью уточнения диагноза рекомендуется проведение внутриротовой рентгенографии 4.1, 4.2



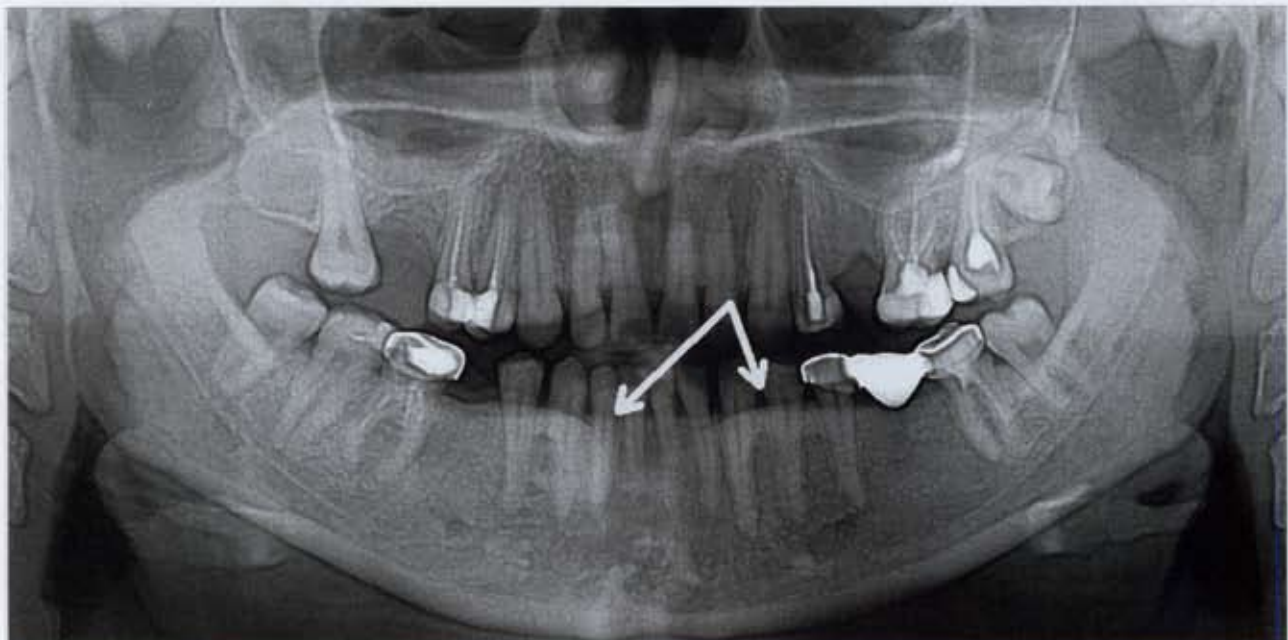
338. ИРЗ 3.6. Небольшой эндостоз (компактная внутрикостная остеома) в периапикальной области 3.6



337. Фрагмент ортопантомограммы. Неравномерное строение костной ткани — участок, лишенный характерных костных балок (показано двумя стрелками) и эндостоз (фрагмент полностью состоящий из компактной костной ткани)



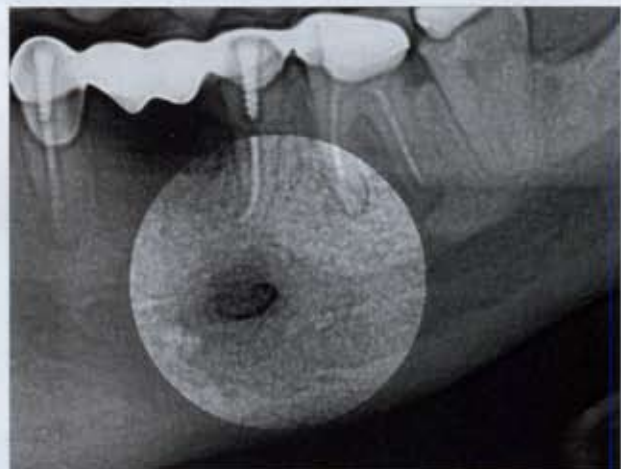
339. Ортопантомограмма. Эндостозы нижней челюсти различных размеров



340. Ортопантомограмма. Экзостозы (компактные экзофитные остеомы, показано стрелками) в рентгенологическом отображении



341. Фрагмент ортопантомограммы. Подбородочная ость (spina mentalis), характерный рисунок



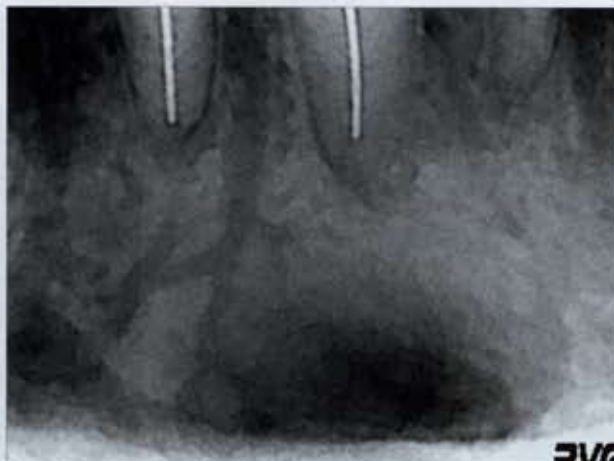
343. Фрагмент ортопантомограммы. Широкое ментальное отверстие, окруженное губчатой костью, лишеннной характерного жесткого рисунка



342. Фрагмент ортопантомограммы. Крупный остеофит в области подбородочной ости



344. Фрагмент ортопантомограммы. Просвет ментального отверстия имитирует периапикальный очаг деструкции в области 3.5



▲ 345. ИРЗ 34, 3.5,
увеличенный
фрагмент. Ментальное
отверстие окружено
плотной костной
тканью, в толще которой
прослеживается
сосудистый рисунок



346. ИРЗ 1.7. Дентикль в пульпарной камере 1.7 (показано
стрелкой)



347. ИРЗ 2.3. Дентикль в
пульпарной камере 2.3

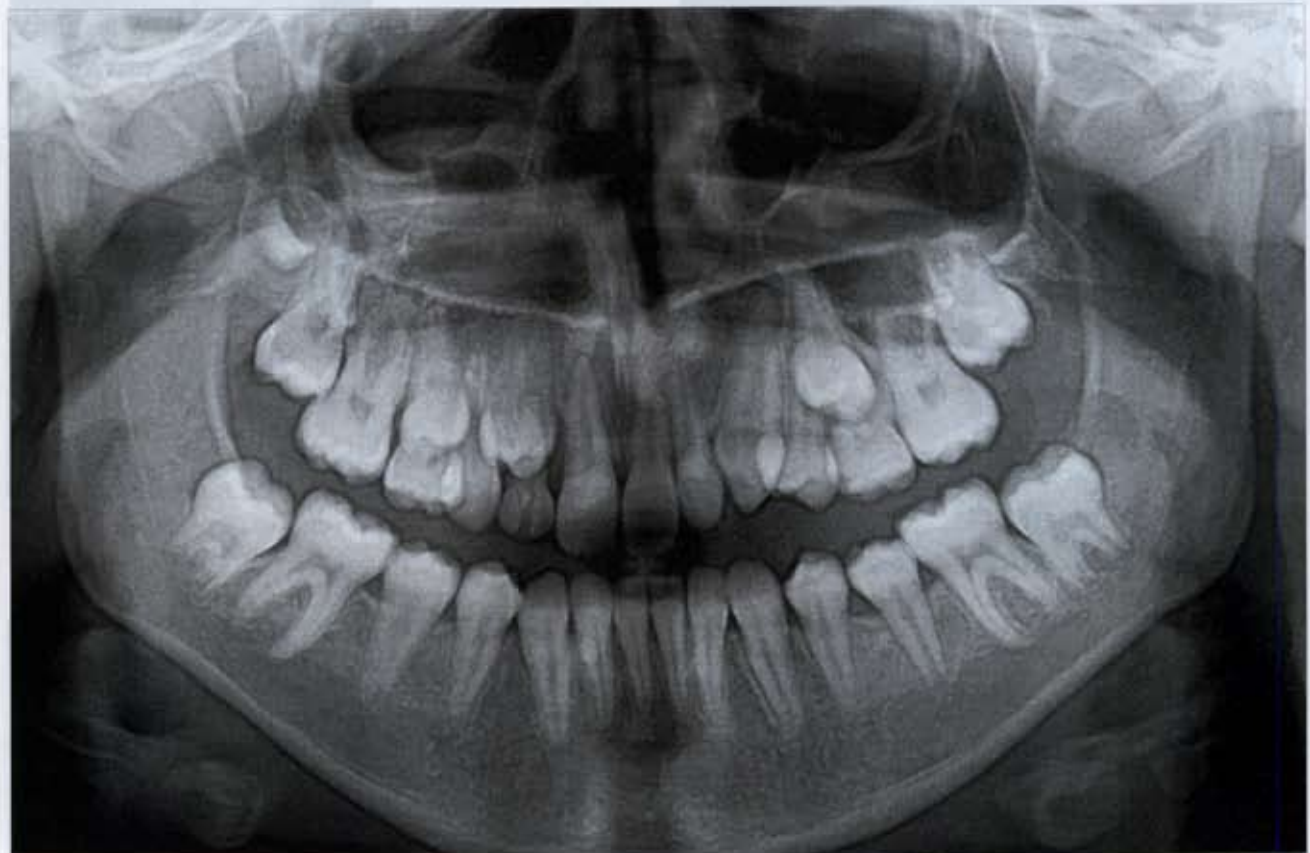


348. Фрагмент ортопантомограммы. ►

Дентики в пульпарных камерах
всех недепульпированных моляров



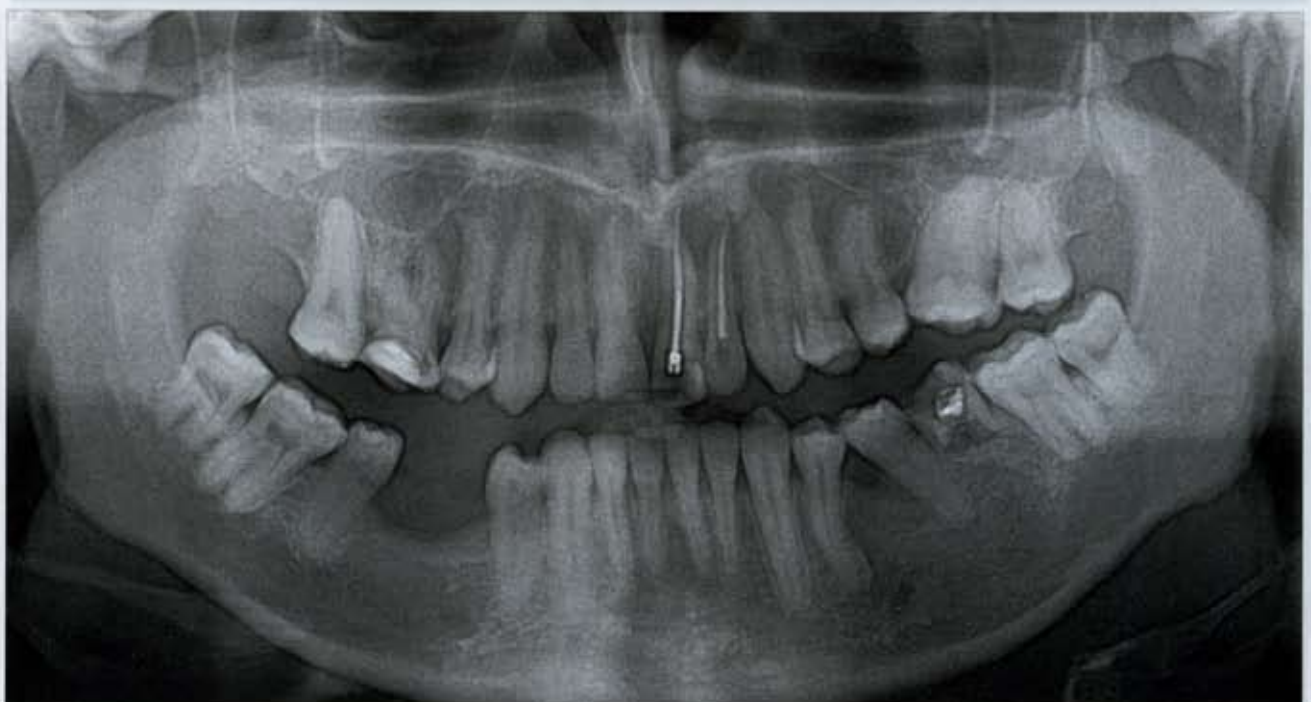
349. Ортопантомограмма. Адентия 1.5, 1.2, 2.5, транспозиция 2.2, 2.3, персистивный 5.5



350. Ортопантомограмма. Адентия 1.2, персистивный 5.3, палатинальная дистопия 1.4



351. Ортопантомограмма. Адентия — .8, 1.7, 1.2, 2.2, 2.7, 2.8, 3.8, 3.7, 4.7 зубов

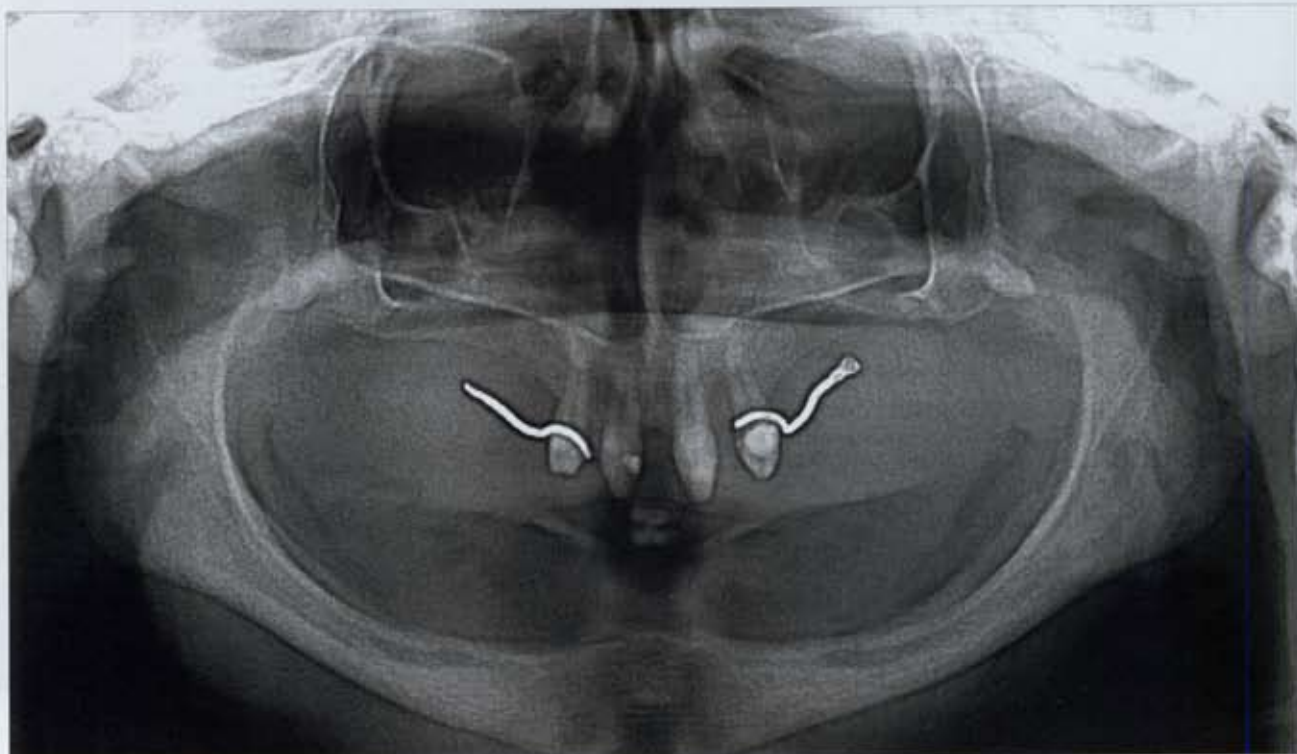


352. Ортопантомограмма. Адентия первых моляров и 1.5 зуба, прерывистые 5.5, 7.5

Лекция № 10. Аномалии формирования эмбриональных тканей. Клиническая диагностика и лечение. Абсцессы пародонтальных тканей. Аномалии формирования эмбриональных тканей. Клиническая диагностика и лечение. Абсцессы пародонтальных тканей.



353. Ортопантомограмма. На верхней челюсти адентия 1.6, 1.5, 1.3, 1.2, 2.3, 2.5, 2.6 зубов, персистивные 5.3, 6.3. На нижней челюсти адентия большей части зубов — в полости рта 4.7, 4.4, 4.3, 3.7 зубы



354. Ортопантомограмма. Пациент К, 16 лет. Ангидротическая эктодермальная дисплазия. Адентия, в полости рта — 1.3, 11, 2.1, 2.3 зубы



355. Ортопантомограмма. Дистопия 3.3 зуба. 4.6, 3.6 удалены



356. Ортопантомограмма. Ретенированный 1.3, характерное положение. Персистивный 5.3

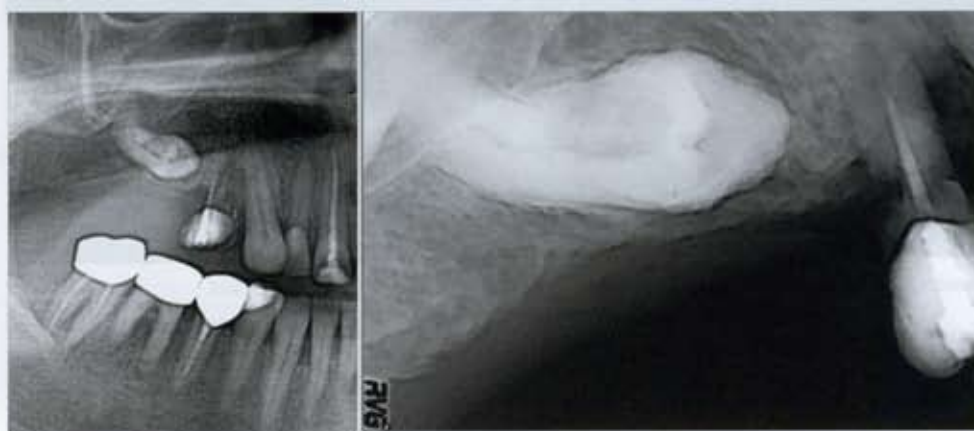
взаимодействии все эти факторы — генетическая ВРН и иммунологическая реакция организма



357. Ортопантомограмма. Ретенированный 1.3, дистопия 2.3



358. Ортопантомограмма.
Ретенированный 1.5. Просвет верхнечелюстного синуса
справа не прослеживается



359. Комбинированное
изображение — фрагмент
ортопантомограммы и ИРЗ
ретенированного 1.5



360. Ортопантомограмма. Ретенированные 1.5, 14, персистивный 5.3, транспозиция 2.3, 2.4 зубов



361. Ортопантомограмма. Ретенированный 1.6



362. Ортопантомограмма. Ретенированные 1.8, 2.8, 3.8, 4.8 зубы при полной потере премоляров, первых и вторых моляров



363. Ортопантомограмма. Ретенированные 1.8, 2.8, 3.7, 3.8, 4.8 зубы



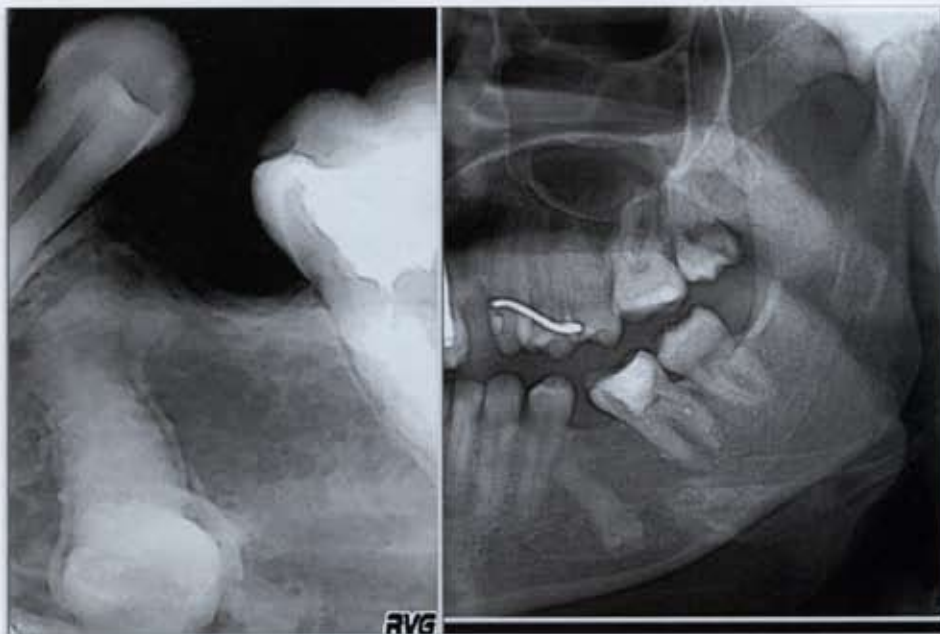
© 2020 Ученый совет
именного — стоматологического
университета в г. Челябинске



364. Ортопантомограмма. Пациентка П., ретенированный 4.6, импактный 4.7, адентия 3.7, 3.8



365. Ортопантомограмма. Та же пациентка после удаления 4.6, 4.7, 4.8



▲ 366. Комбинированное изображение — ИРЗ ретенированного 3.5 и фрагмент ортопантомограммы. Обратное положение ретенированного 3.5



▲ 367. Фрагмент ортопантомограммы. Сверхкомплектный премолляр в области тела нижней челюсти справа при полном отсутствии жевательной группы зубов



368. Комбинированное изображение — ортопантомограмма и ИРЗ ретенированного 3.3



369. Ортопантомограмма. Ретенированный 2.3, персистивный 5.3, зачатки сверхкомплектных четвертых моляров верхней челюсти



370. Комбинированное изображение — фрагмент
ортопантомограммы, панорамная реконструкция из ИРЗ 3.8, 3.9.
Ретенированные третий и четвертый сверхкомплектный моляры
нижней челюсти слева

371. ИРЗ 5.1, 6.1. Зачаток
сверхкомплектного резца
верхней челюсти





372. Ортопантомограмма. Ретенированный сверхкомплектный резец верхней челюсти



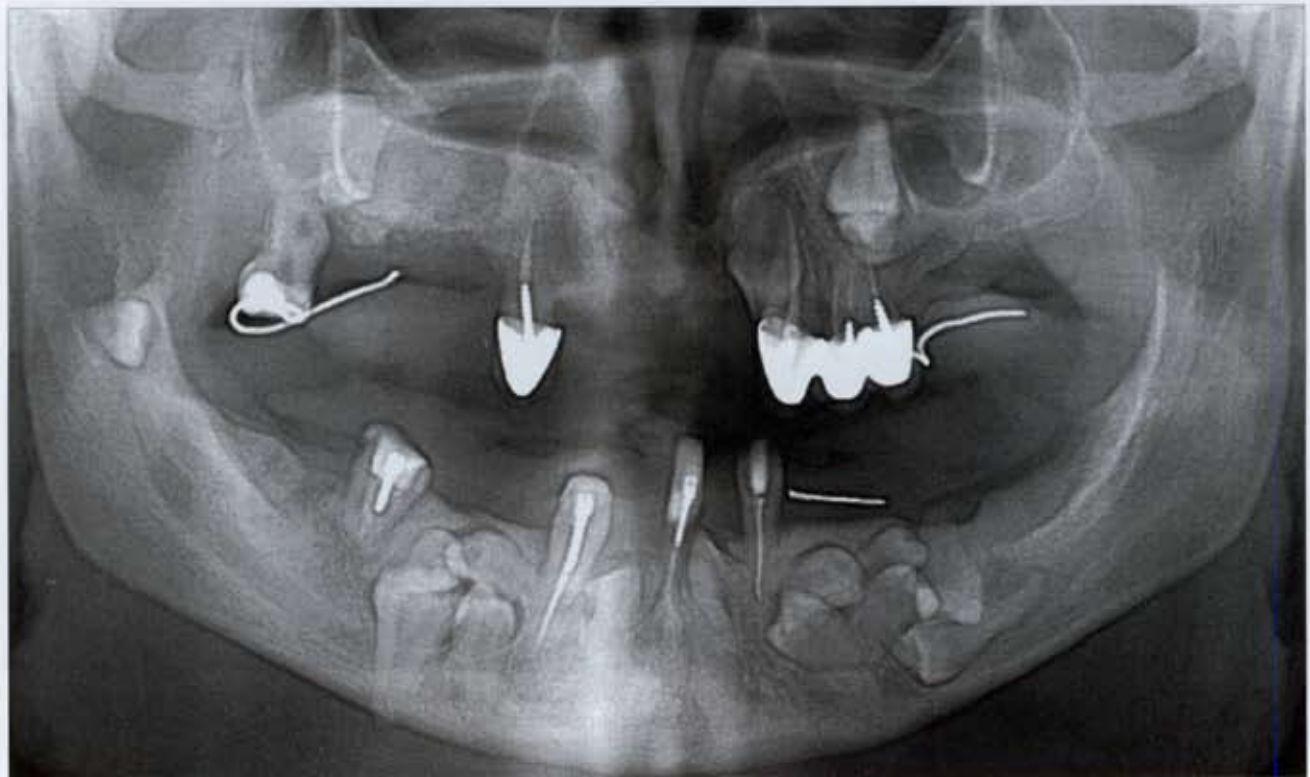
373. Ортопантомограмма. Сверхкомплектные клыки нижней челюсти



374. Ортопантомограмма. Множественные сверхкомплектные зубы, сложные одонтомы нижней челюсти в области корней премоляров слева и справа. Сверху справа: зачаток сверхкомплектного четвертого моляра, ретенированные сверхкомплектные премоляр, клык и резец, 1.5, 1.4 — трехканальное и трехкорневое строение. Сверху слева: ретенированные сверхкомплектные резец, клык, премоляр, четвертый и пятый моляры, 2.5 — трехканальное и трехкорневое строение. Снизу слева: зачаток сверхкомплектного четвертого моляра, сверхкомплектные резец и премоляр в зубном ряду. Снизу справа: сверхкомплектный клык удален, зачаток сверхкомплектного четвертого моляра



375. Ортопантомограмма. Пациентка П., множественные сверхкомплектные, ретенированные и персистивные молочные зубы. Рентгенологическая визуализация 50-ти зубов на разных стадиях формирования.



376. Ортопантомограмма. Пациент К., отец пациентки П. Состояние после удаления не подлежащих терапевтическому лечению постоянных зубов и протезирования частичными съемными пластиночными протезами. Сложные одонтомы нижней челюсти справа и слева, множественные ретенированные сверхкомплектные зубы



377. Ортопантомограмма. Расщелина верхней губы и альвеолярного отростка верхней челюсти справа



378. Ортопантомограмма. Расщелина верхней губы, альвеолярного отростка верхней челюсти и твердого неба справа

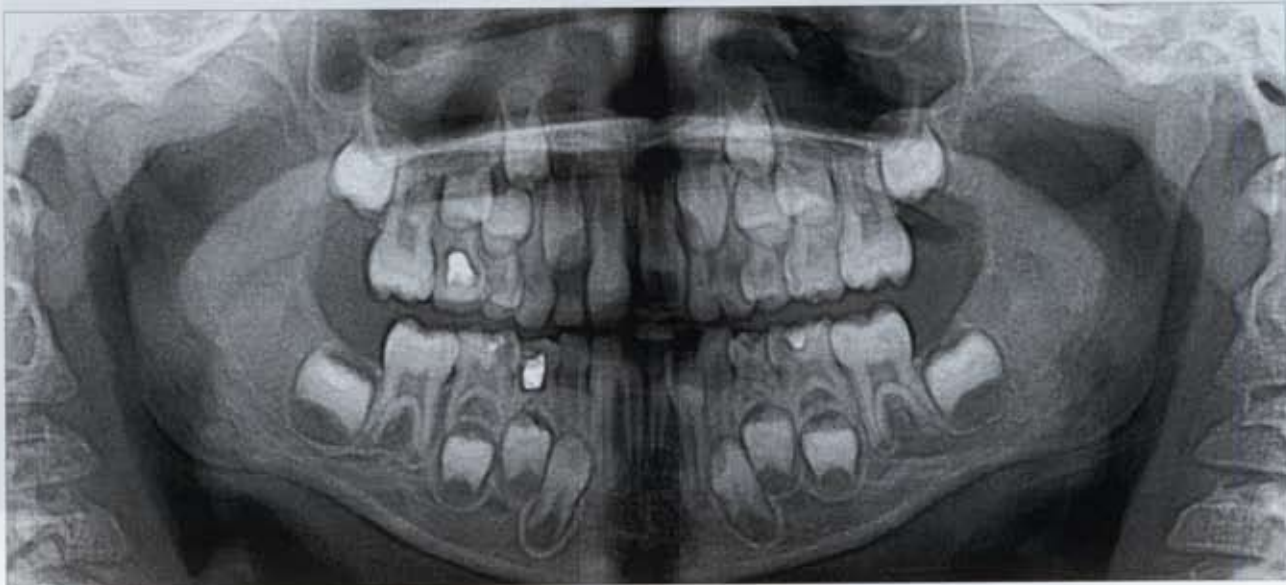


379. Ортопантомограмма. Двусторонняя расщелина верхней губы, альвеолярного отростка верхней челюсти и передних отделов твердого неба



380. Панорамная реконструкция из прицельных внутриротовых рентгенограмм. Расщелина верхней губы, альвеолярного отростка верхней челюсти и твердого неба справа

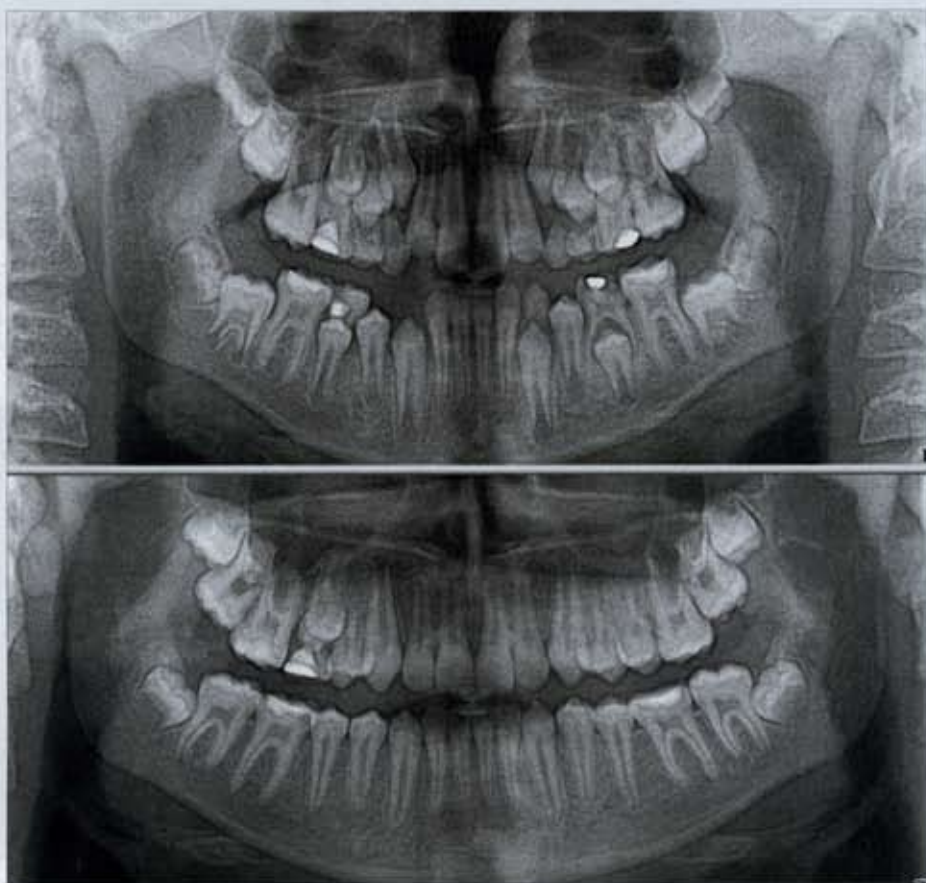
381. Ортопантомограмма. Ребенок 4 года. Состояние на этапе развития



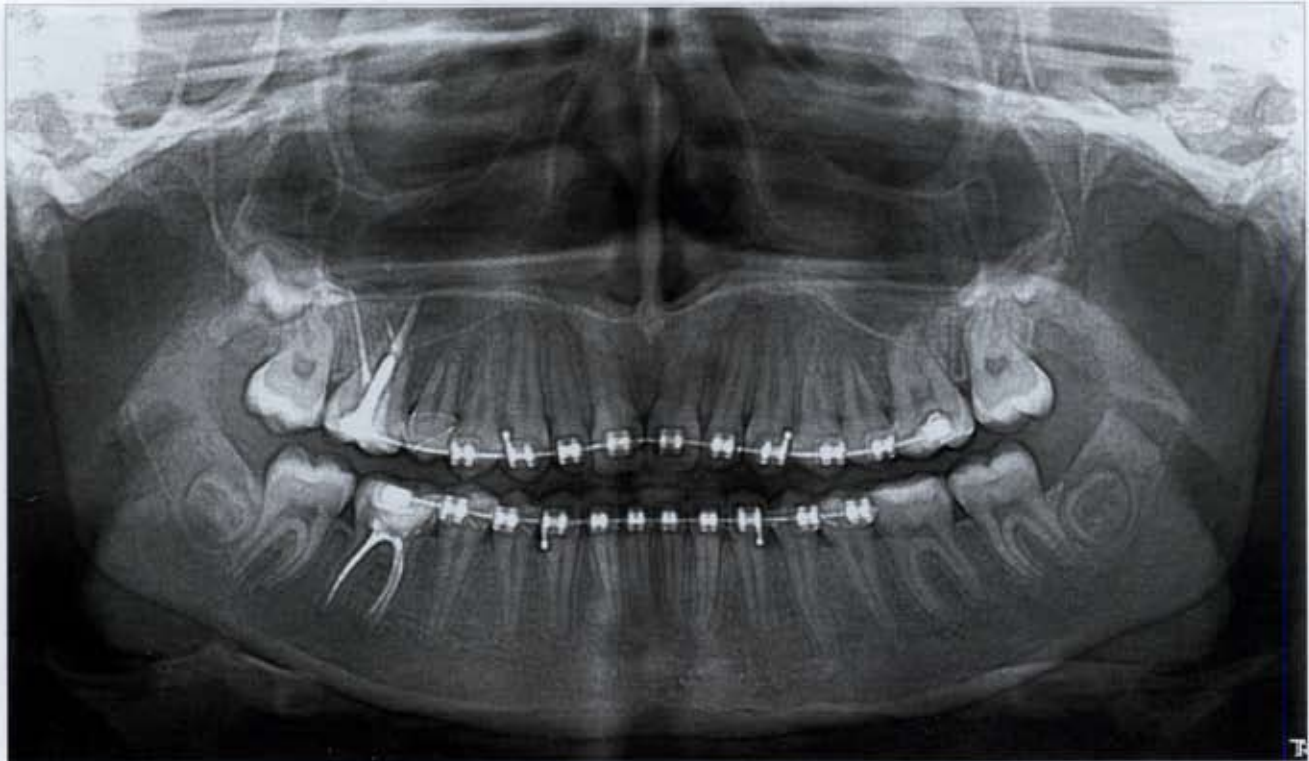
382. Ортопантомограмма. Ребенок 6 лет



383. Ортопантомограмма. Ребенок 8 лет



384. Пациент Е. Рентгенологическое обследование в возрасте 10 и 12 лет



385. Ортопантомограмма. Рентгенологическое обследование на этапе ортодонтического лечения. Периодонтальная щель всех зубов отчетливо расширена



386. Пациент Р. Рентгенологическое обследование на этапах ортодонтического лечения. Верхний фрагмент — до лечения, нижний фрагмент — через 1,4 мес после начала лечения



387. ИРЗ 5.1, 6.1 и зачатков постоянных первых резцов.
Состояние на этапе физиологической смены зубов.
Травма 5.1, перелом корня в апикальной части,
трепанационное отверстие в коронке



388. Фрагмент ортопантомограммы. 4.7 зуб на этапе формирования твердых тканей



389. Увеличенный фрагмент ортопантомограммы. 4.6 зуб
интактный, недоразвитие дистального корня



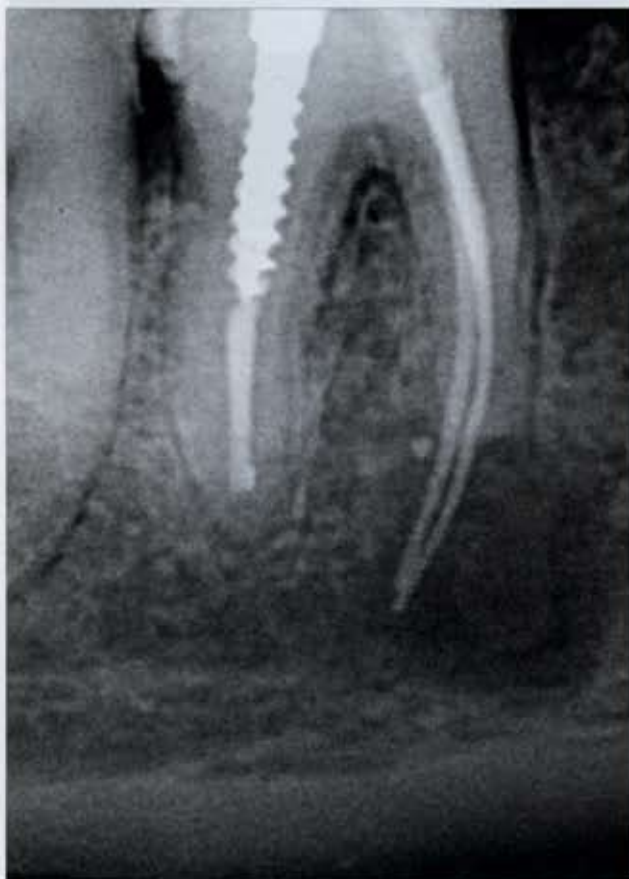
390. ИРЗ 3.5. Второй премоляр на этапе формирования
твердых тканей



391. Фрагмент ортопантомограммы. Хронический периодонтит 4.6, состояние после лечения пульпита методом витальной ампутации при несформированных твердых тканях корня



393. ИРЗ 3.6, 3.7. Хронический периодонтит, деструкция дистального корня



392. ИРЗ 4.6. Хронический периодонтит, апикальная гранулема, лизис апикальной части корня



394. Фрагмент ортопантомограммы. «Скрытые» кариозные полости апоксиимальных поверхностей 2.5, 2.6. При осмотре полости рта нарушение целостности эмали 2.5, 2.6 не выявлено



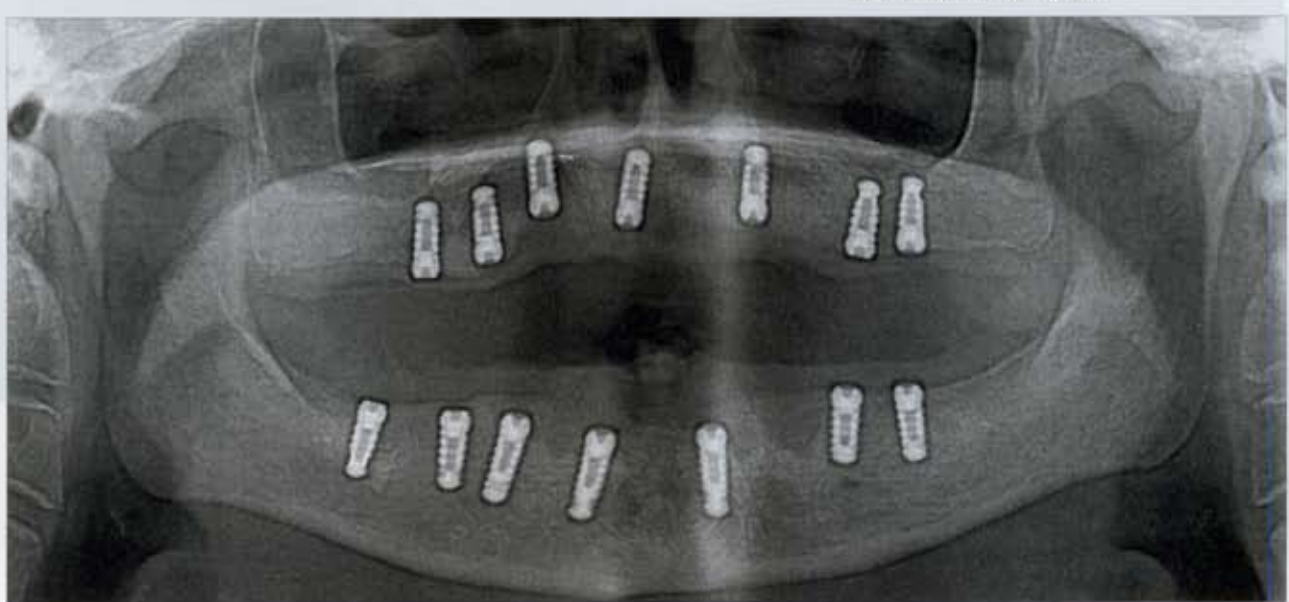
395. Фрагмент ортопантомограммы. 2.5, 2.6, 2.7 восстановлены с помощью нерентгеногонтрастного композитного материала химического отверждения



396. Контрольная ортопантомограмма после терапевтической санации полости рта перед протезированием



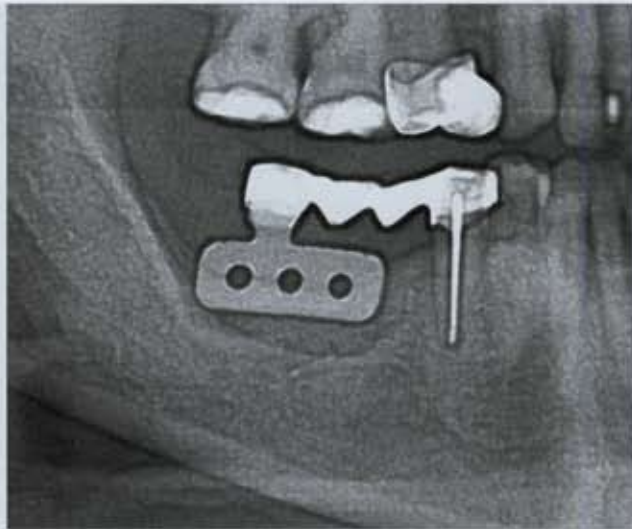
397. Фрагмент ортопантомограммы.
Двухэтапный имплантат



398. Контрольная ортопантомограмма после имплантации
при полной потере зубов



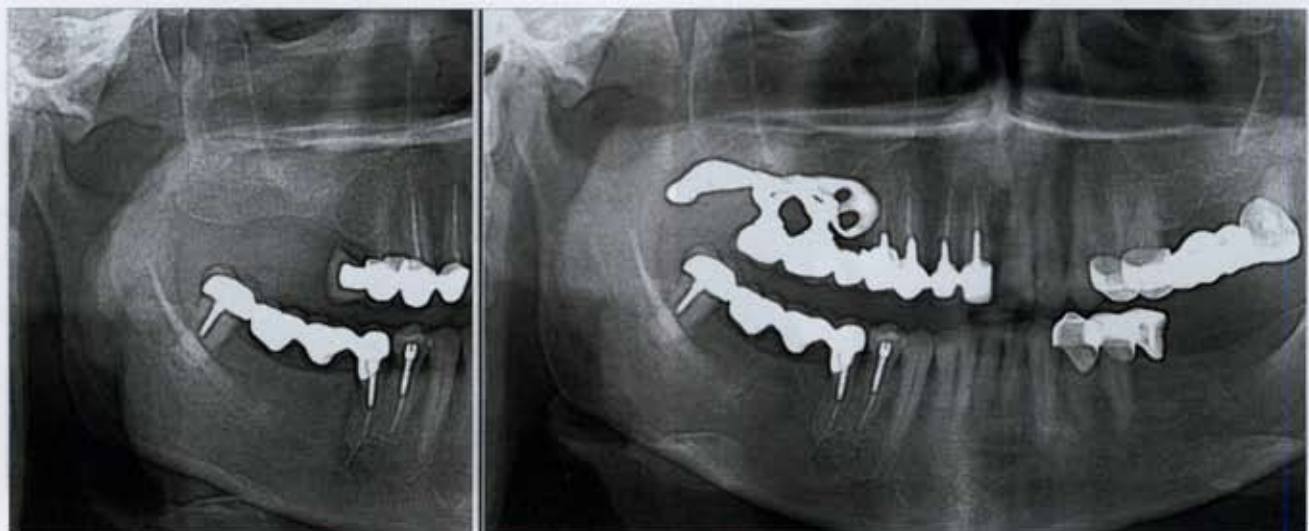
399. Прицельная внутриротовая рентгенограмма области бугра верхней челюсти справа. Комбинированный имплантат



401. Фрагмент ортопантомограммы. Деструкция костной ткани вокруг имплантата



400. Контрольная ортопантомограмма после протезирования с опорой на пластиничные имплантаты



402. Фрагмент диагностической и контрольной ортопантомограмм на этапах протезирования с опорой на поднадкостничный имплантат



403. ИРЗ 4.3, 4.2. Лизис корня опорного 4.2 зуба



404. Фрагмент ортопантомограммы. «Опора фантом» — лизис опорного 4.8 зуба



405. Увеличенный фрагмент ортопантомограммы. Анкерный штифт введен и фиксирован в перфорации дна пульпарной камеры 3.6 зуба

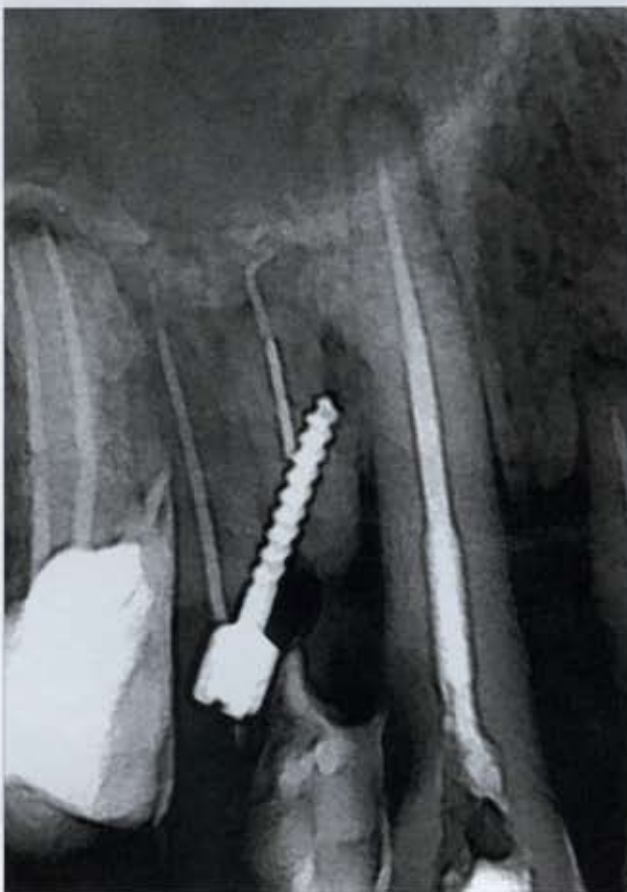
Использование оторванных коронок внутри ИРЗ СРН для
механической пропитки высыпаний лекарственных монолитов
при лечении инфицированных кариесом и
запущенных пульпита



406. ИРЗ 3.6. Анкерный штифт «припасован» в перфорационное отверстие дна пульпарной камеры

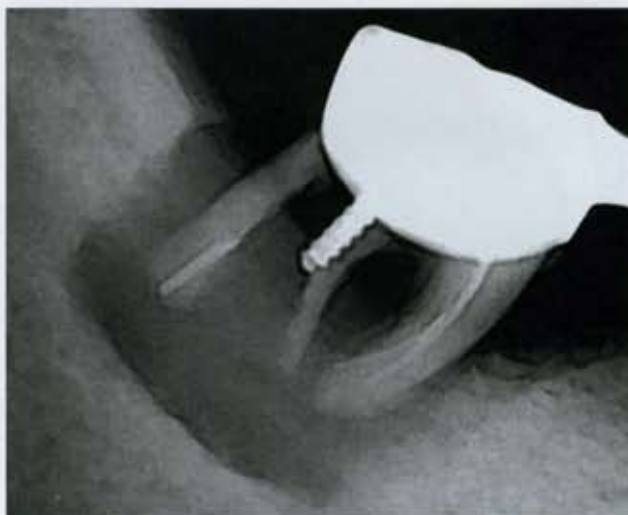


408. Фрагмент ортопантомограммы. Штифты из кламмерной проволоки припасованы и фиксированы в 3.7 зубе без учета наклона вертикальной оси зуба



409. ИРЗ 1.2. Перфорация стенки корня в процессе препарирования под культевую вкладку. Деструкция костной ткани межзубной перегородки

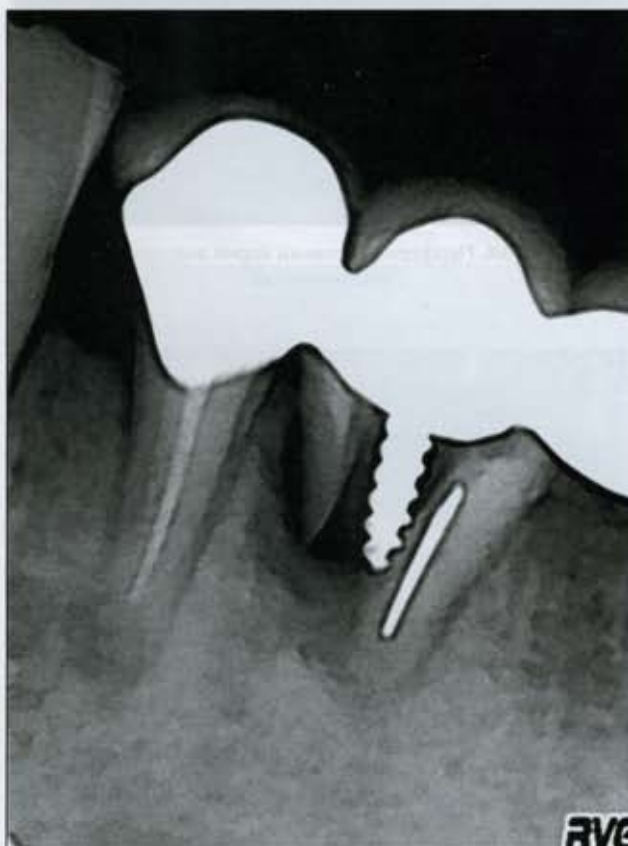
◀ 407. ИРЗ 14. Фрактура эндодонтического инструмента в щечном канале, анкерный штифт фиксирован в перфорации корня



410. ИРЗ 3.7. Вертикальная фрактура дистального корня в процессе фиксации анкерного штифта. Отдаленный результат



412. ИРЗ 3.7. Вертикальная фрактура дистального корня. Отдаленный результат ошибки совершенной при формировании контактного пункта во время реставрации фотокопозитом коронковой части зуба



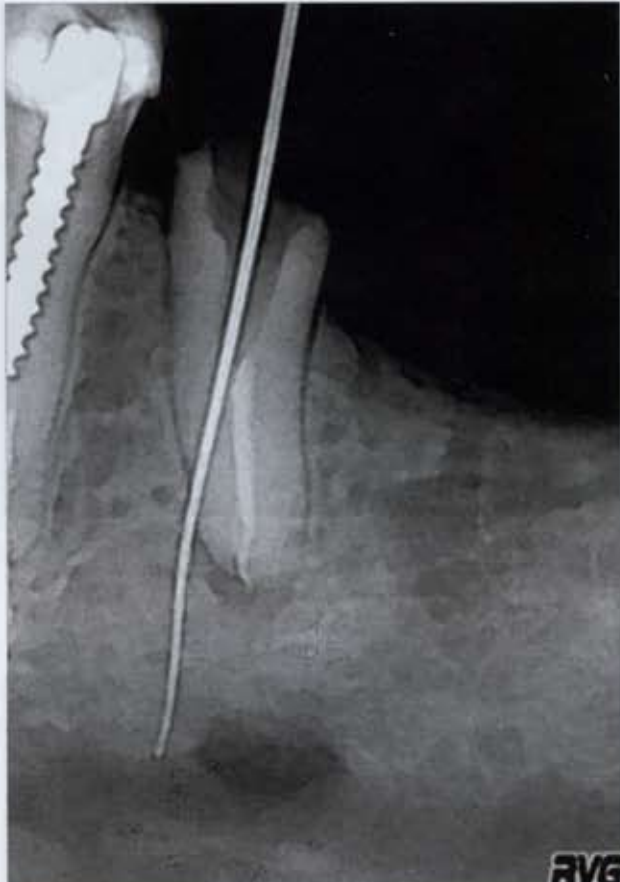
411. ИРЗ 3.4. Вертикальная фрактура корня по ходу перфорации стенки сделанной во время препарирования под анкерный штифт. В корневом канале серебряный эндодонтический штифт.



413. ИРЗ 1.3, 1.2. Сразу две сломанные рабочие части каналаонаполнителя в канале 1.2 зуба



414. ИРЗ 3.5. Фрактура эндодонтического инструмента в апикальной части корня



416. ИРЗ 3.4. Перфорация стенки корня эндодонтическим инструментом

RVG



417. Увеличенный фрагмент ортопантомограммы. Серебряный эндодонтический штифт введен в перфорацию дна пульпарной камеры

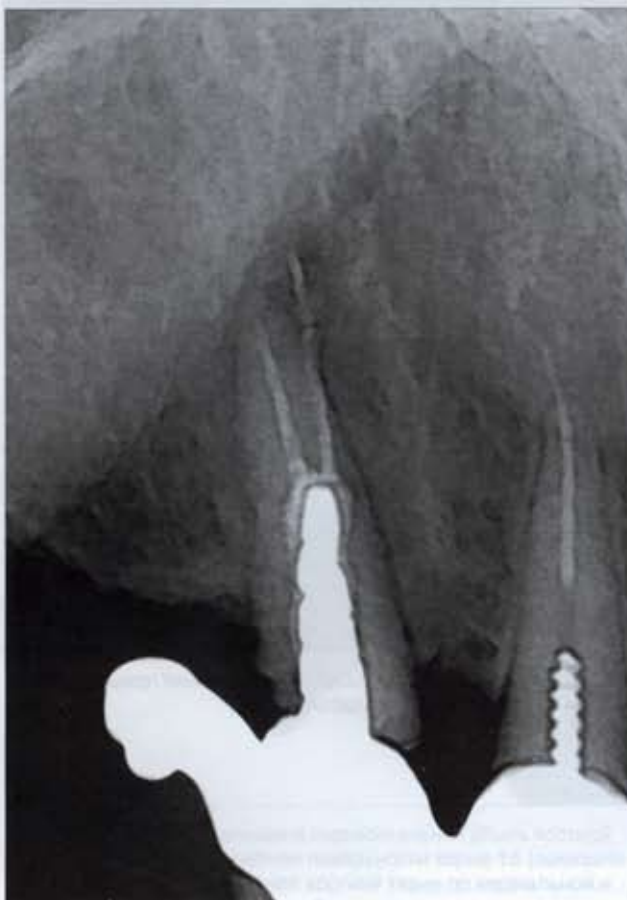
◀ 415. ИРЗ 4.2. Перфорация стенки пульпарной камеры эндодонтическим инструментом



◀ 418. ИРЗ 4.2. «Пломбирование перфорации», отдаленный результат. Гуттаперчевый штифт введен в перфорацию стенки корня, располагается в зоне деструкции окружающей костной ткани альвеолы



420. ИРЗ 4.7. Тень шнура сенсора проецируется на область удаленного 4.6 зуба



421. ИРЗ 3.3, 3.4. Тень от остатков временного пломбировочного материала, находящихся под языком, проецируется на периапикальную область 3.3, 3.4

◀ 419. ИРЗ 1.3. Перфорация стенки корня в процессе эндодонтического лечения. Пломбировочный материал прослеживается на всем протяжении корневого канала и по ходу перфорации



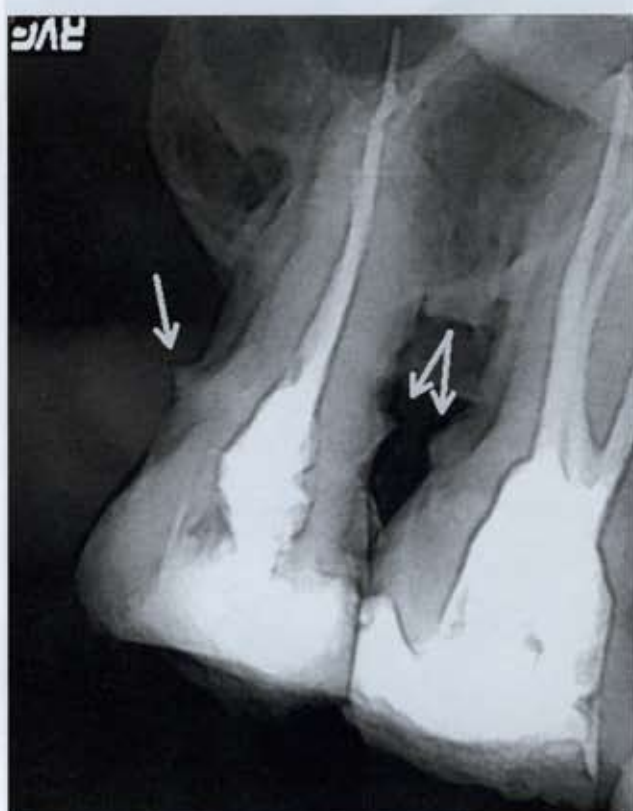
422. ИРЗ 3.1, 3.2, 3.3. Проекция тени экзостоза на апикальную часть корня 3.3



423. Увеличенный фрагмент ортопантомограммы. Нависающий край после препарирования 2.6 под металлокерамическую коронку



424. Внутриротовая интерпроксимальная рентгенограмма 2.5, 2.6 зубов. Нависающие края пломбы 2.6 зуба, карIES на контактных поверхностях 2.5, 2.6 зубов



425. ИРЗ 1.8. Твердые назубные отложения пришеечной области 1.8, 1.7

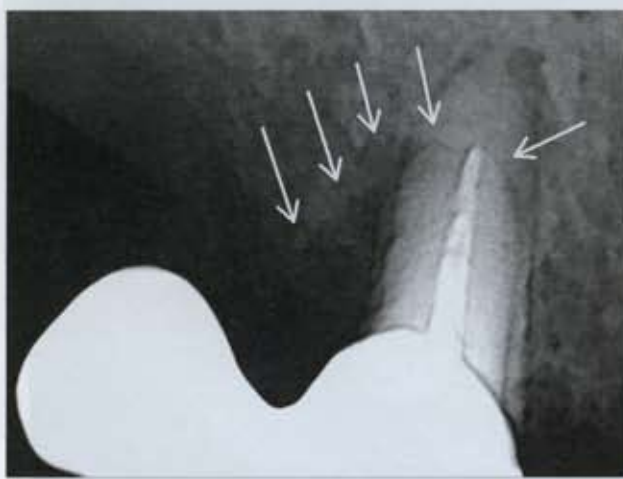
← Клиника №3. Герофиловы стоматологические инструменты



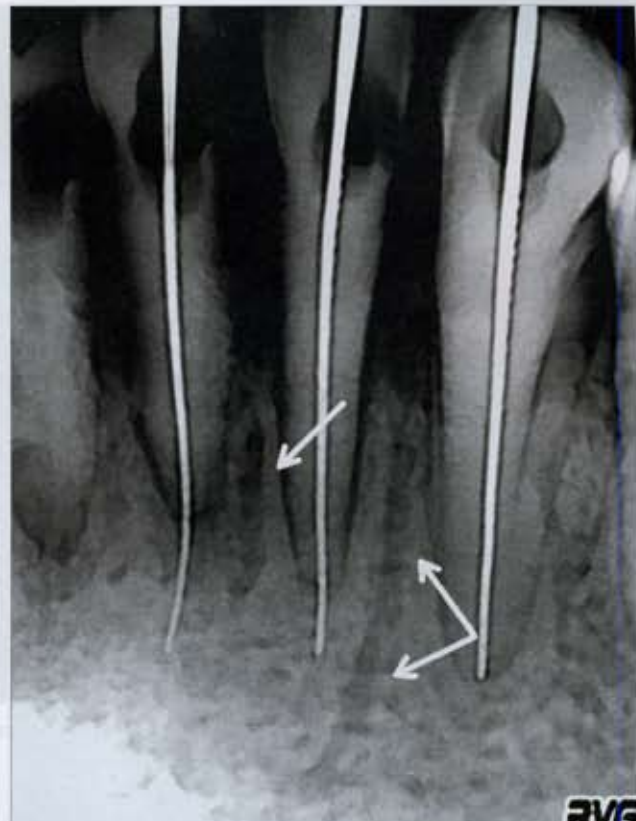
426. Увеличенный фрагмент ортопантомограммы. Отдаленные результаты некачественного протезирования. Деструкция костной ткани альвеолы на всем протяжении корня 4.5, кариес пришеечной области 4.8



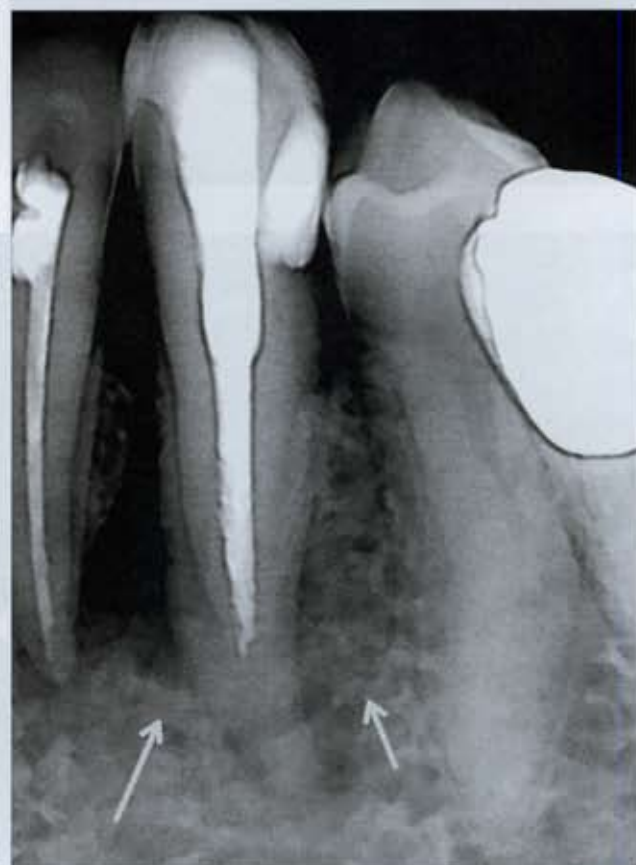
427. ИРЗ 4.7. Отдаленный результат ошибки при эндодонтическом вмешательстве. Деструкция межкорневой перегородки после перфорации дна пульпарной камеры. Попытка перелечивания



429. ИРЗ 1.5. Вертикальная и горизонтальная убыль костной ткани по дистальной и небной поверхности корня 1.5 (показано стрелками) при сохраненной костной ткани по медиальной и вестибулярной поверхности



428. ИРЗ 3.1, 3.2, 3.3. Интрасептальные щели (показано стрелками)



430. ИРЗ 3.3. Деструкция костной ткани по вестибулярной поверхности корня 3.3 до уровня, показанного стрелками



◀ 431. Тот же зуб (рис. 430), вид после отслаивания слизисто-надкостничного лоскута. Трепанация кортикальной пластиинки в области апекса 3.3



434. ИРЗ 3.2, 3.3. Деструкция костной ткани альвеолы 3.3 зуба вдоль медиальной и щечной поверхности корня на всем протяжении



◀ 433. Фрагмент ортопантомограммы. Парадонтит генерализованный, тяжелая степень, хроническое течение. Деструкция костной ткани альвеолы 3.7 зуба на всем протяжении корней, вертикальная убыль костной ткани в области 3.6 на 2/3 длины корней



432. Ортопантомограмма. Парадонтит генерализованный, тяжелая степень, хроническое течение. Деструкция костной ткани альвеолы 1.7 зуба на всем протяжении корней



435. Ортопантомограмма. Парадонтит генерализованный, тяжелая степень, хроническое течение. «Стоматологическая катастрофа»

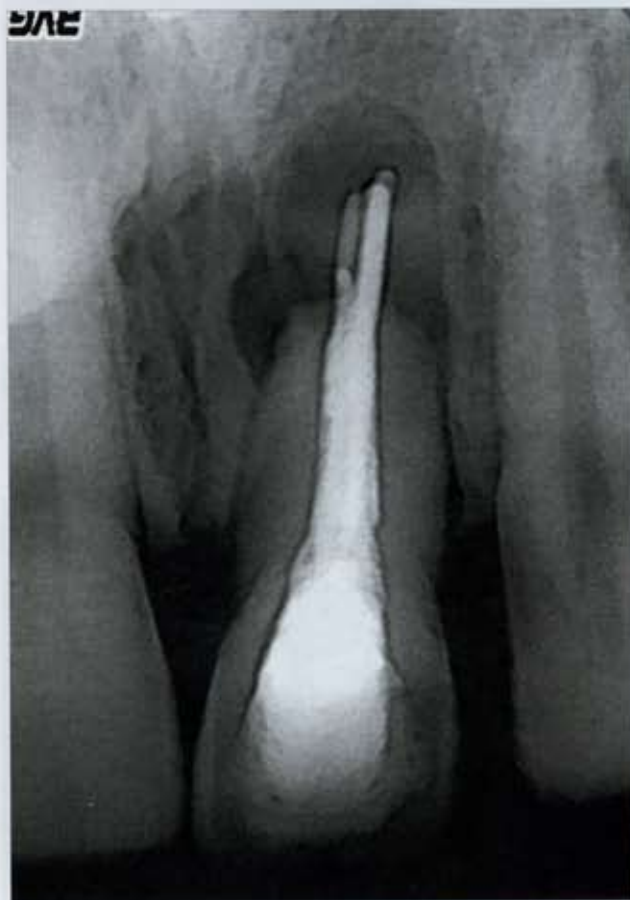


436. ИРЗ 4.1, 4.2. Деструкция костной ткани альвеолы 4.1 зуба на всем протяжении корня. Твердые назубные отложения в коронковой и средней трети корня, перелом корня в апикальной трети

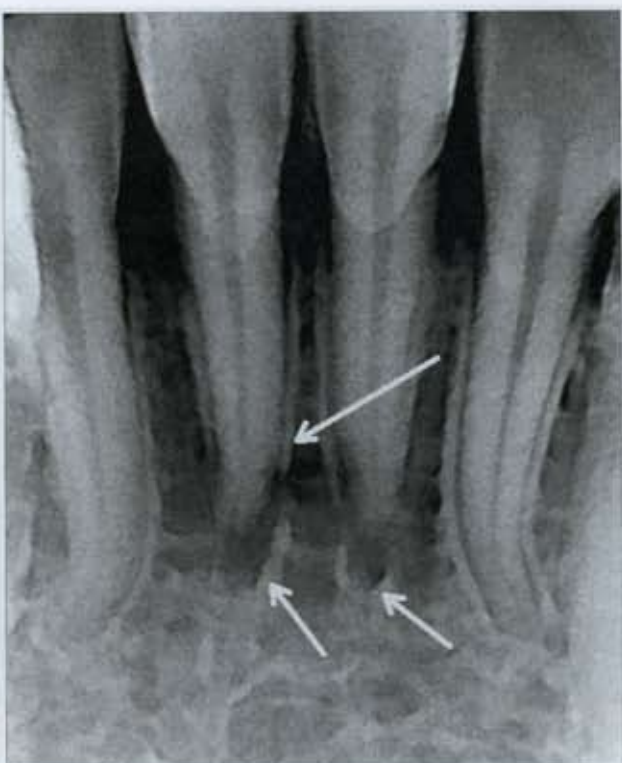


437. ИРЗ 1.1. Перелом корня в средней трети. Состояние через 6 мес после травмы. Коронковая часть корня фиксирована в мягких тканях, вертикальная и горизонтальная убыль костной ткани в зоне перелома на 2/3 длины корня

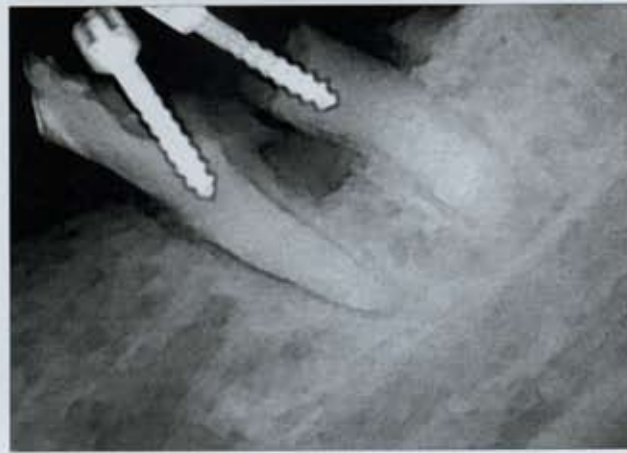
440. ИРЗ 4.1, 4.2. Состояние через сутки после травмы. ►
Вывих 4.1, 4.2. зубов. Дислокация корней на 2 мм относительно
апикальной части альвеолы (показано стрелками).



438. ИРЗ 2.1. Состояние через три года после травмы.
Апикальная часть корня выше линии перелома подверглась
резорбции



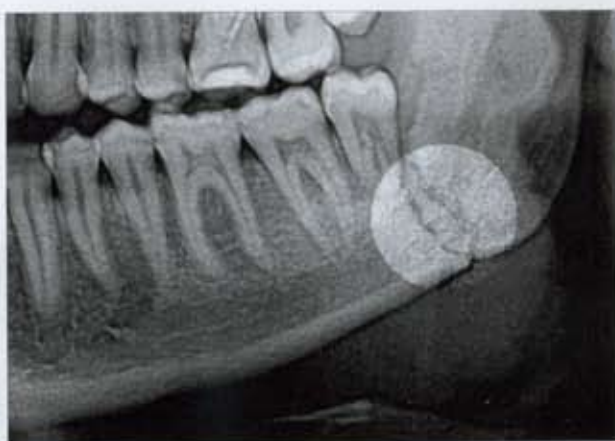
441. Фрагмент ортопантомограммы. Состояние через год после
зубосохраняющей операции по поводу радикулярной кисты 4.6.
Операция проведена с превышением необходимого объема
резекции корней 4.6, без учета функциональной нагрузки



439. ИРЗ 3.7. Вертикальная фрактура в области фуркации
корней, вертикальная деструкция костной ткани в области
межкорневой перегородки на 1/2 длины корней



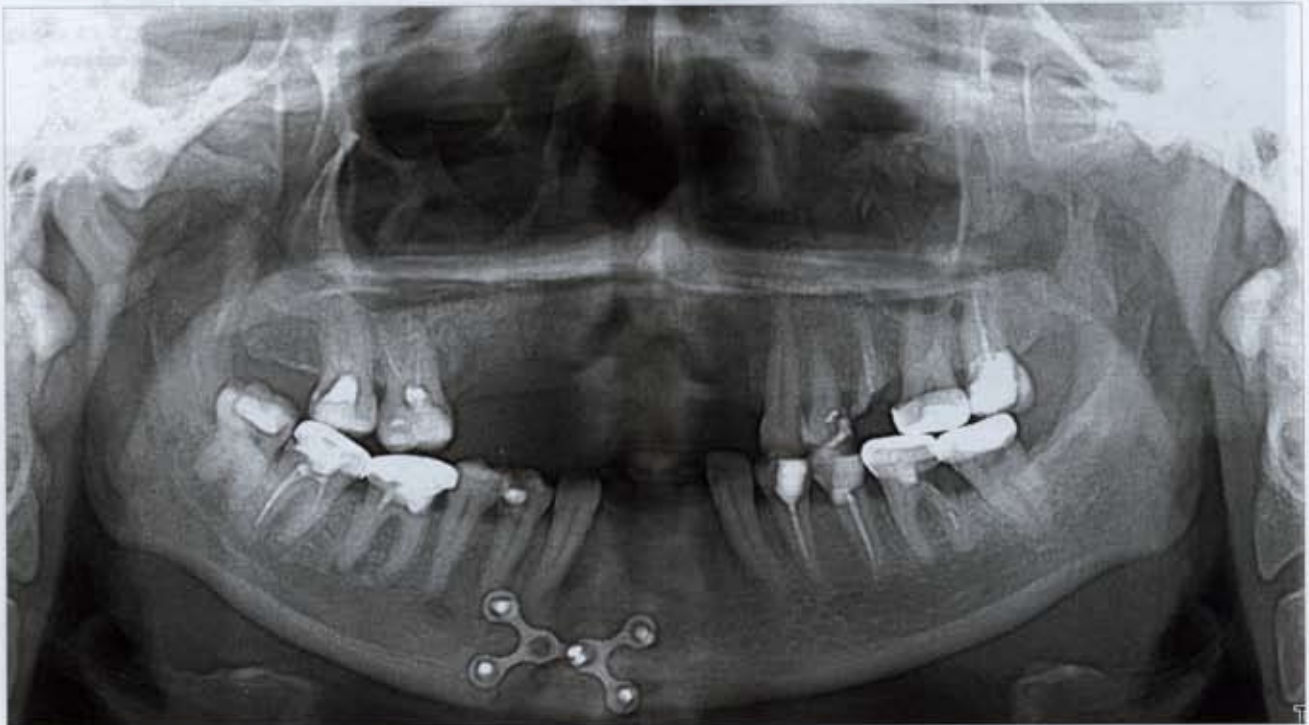
442. Фрагмент ортопантомограммы. Перелом нижней
челюсти справа



◀ 443. Фрагмент ортопантомограммы. Перелом нижней челюсти в области угла нижней челюсти слева.
Характерный визуальный эффект двойной линии перелома



445. Ортопантомограмма. Переломы нижней челюсти в области тела, угла и ветви челюсти слева в состоянии консолидации.
Рентгенологическое обследование через пять лет после травмы



446. Ортопантомограмма. Множественные переломы нижней и верхней челюстей, скуловых костей и костей носа в результате автоаварии. Рентгенологическое обследование через 6 мес после травмы. Дефект фронтального отдела альвеолярного отростка и скулового отростка верхней челюсти слева. Неправильная консолидация отломков в области перелома мыщелкового отростка нижней челюсти справа



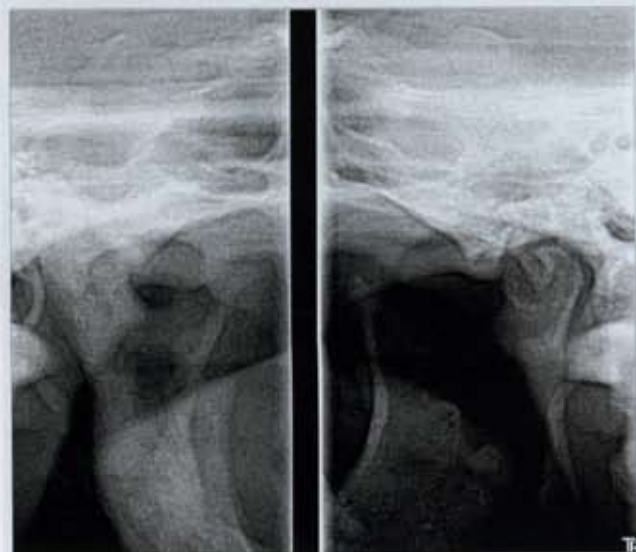
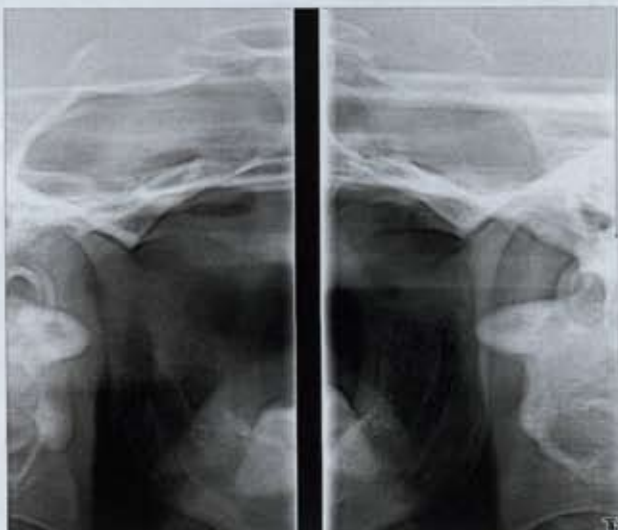
447. Ортопантомограмма. Состояние через два года после травмы. Дефект мыщелкового отростка нижней челюсти справа после огнестрельного ранения



◀ 448. Комбинированное изображение — фрагменты ортопантомограмм. Перелом мыщелкового отростка нижней челюсти справа (правый фрагмент) в сравнении с неповрежденной костью (левый фрагмент) того же пациента на ортопантомограмме, сделанной за полгода до травмы



449. Панорамная зонограмма ВНЧС в боковой проекции при максимальном открывании рта. Деформирующий артроз справа. Состояние через пять лет после травмы



450. Панорамная зонограмма ВНЧС в боковой проекции. Анкилоз ВНЧС справа



452. Панорамная зонограмма ВНЧС в боковой проекции, правый фрагмент. Миогенный остеоартроз, остеофит на передней поверхности суставной головки



453. Ортопантомограмма. Гипоплазия мыщелкового отростка нижней челюсти слева. Жалоб нет, случайная рентгенологическая находка



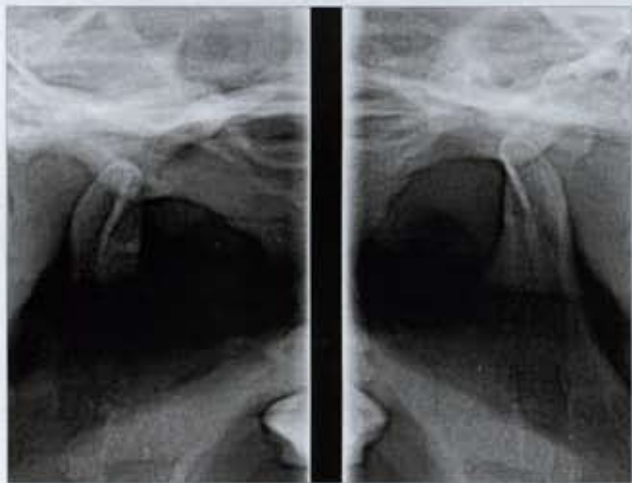
454. Панорамная зонограмма ВНЧС в боковой проекции при максимальном открывании рта. Дисфункция ВНЧС. Выраженный болевой синдром, поступательное движение головки при открывании рта ограничено



455. Панорамная зонограмма ВНЧС в боковой проекции при максимальном открывании рта. Гипермобильность суставов. Жалобы на щелканье в суставе в конце движения челюсти при широком открывании рта. Положение суставных головок относительно бугра соответствует состоянию при вывихе

занимает Яблонко в Статьи энциклопедии медицины 1004
раздела СНМК медицины

занимает Яблонко в Статьи энциклопедии медицины 1004
раздела СНМК медицины



456. Панорамная зонограмма ВНЧС в боковой проекции при максимальном открывании рта. Гипермобильность суставов. Жалобы на щелканье в суставе в конце движения челюсти при широком открывании рта. При осмотре - в конце движения при открывании рта происходит резкое смещение челюсти влево, в результате чего на зонограмме наблюдается суперпозиция суставной головки относительно бугра слева и суперпозиция бугра относительно головки справа; при визуальном эффекте отсутствия смещения суставной головки вперед



457. Панорамная зонограмма ВНЧС в боковой проекции при сомкнутых челюстях и максимальном открывании рта. Гипермобильность сустава справа. Положение суставной головки относительно бугра справа соответствует состоянию относительной нормы



458. Ортопантомограмма. Вывих ВНЧС справа, острое состояние, рентгенологическое обследование через час после травмирующего воздействия



◀ 459. Комбинированное изображение — фрагменты ортопантомограмм и ИРЗ 3.7. Клинический случай развития обширной периапикальной деструкции после качественного пломбирования каналов. Фрагмент внизу слева — до лечения, сверху слева контрольная ИРЗ — рентгенологически apex корневых каналов обтурирован, пломбировочный материал прослеживается на всем протяжении. Внизу справа — рентгенография через год после лечения, сверху справа — попытка перелечивания



◀ 460. Ортопантомограмма. Клинический случай реакции на пломбировочный материал, содержащий эвгенол. 1.7, 1.5, 2.7, 4.6 зубы ранее лечены по поводу пульпита с применением резорцинформалиновой пасты. При подготовке к протезированию 1.2, 2.2, 2.5, 4.4 (удален), 4.7 был использован пломбировочный материал на основе эвгенола. Пломбирование каналов признано качественным.

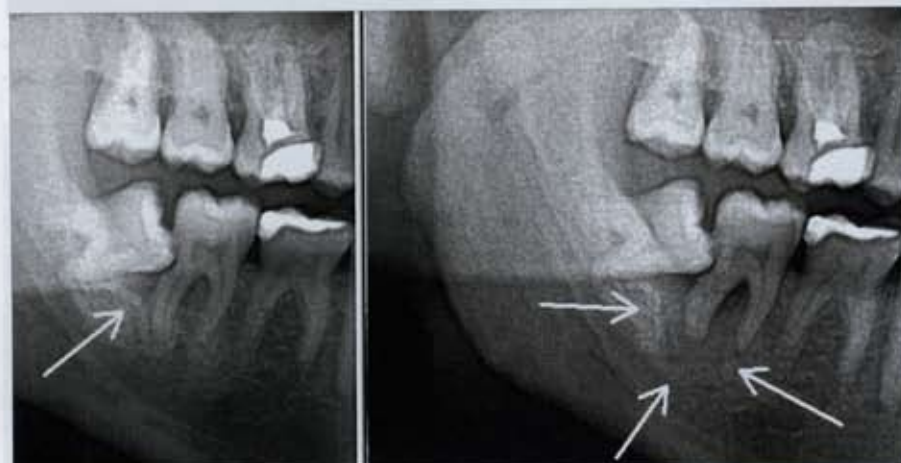
На контрольной ортопантомограмме через год после завершения лечения выявлены обширные очаги деструкции костной ткани в области указанных зубов



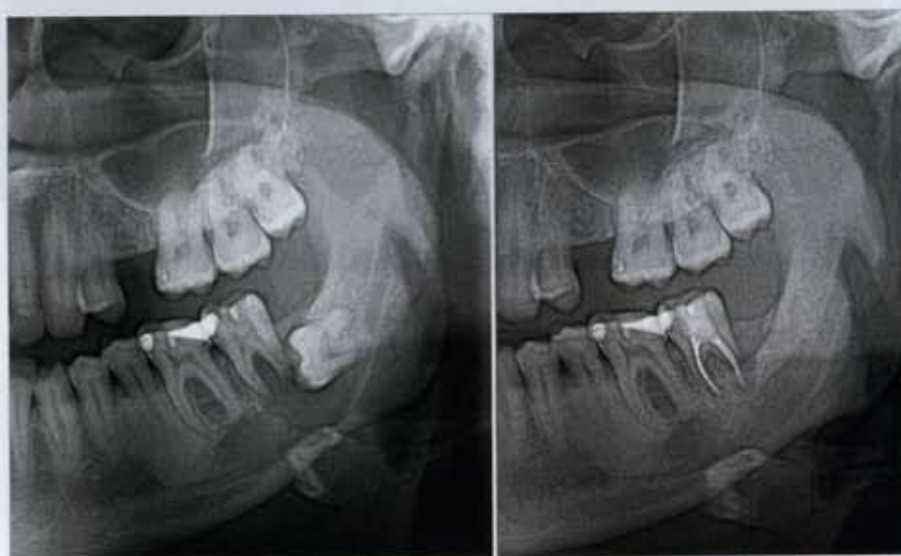
◀ 461. ИРЗ 2.2. Очаг деструкции костной ткани в области межзубной перегородки, распространяющийся от места перфорации корня



462. Ортопантомограмма. Глобуломаксиллярная киста справа, нагноившаяся киста, состояние через месяц после удаления 2.2 зуба. При обращении в районную поликлинику была проведена внутриротовая рентгенографии с недостаточным отображением периапикальных тканей, поставлен диагноз «радикулярная киста», зуб удален без цистэктомии



463. Комбинированное изображение — фрагменты ортопантомограмм. Парадентальная воспалительная киста в области 4.8 на этапах развития. Рентгенологическое обследование с интервалом в 1 год



464. Комбинированное изображение — фрагменты ортопантомограмм. Слева — парадентальная воспалительная киста в области ретенированного 3.8. Справа — контрольная ортопантомограмма через год после окончания лечения



465. Ортопантомограмма. Холестеатома нижней челюсти слева в области межзубной перегородки 3.6, 3.7. Зубы депульпированы перед оперативным вмешательством



466. Ортопантомограмма. Амелобластома нижней челюсти справа. Макродентия 1.8

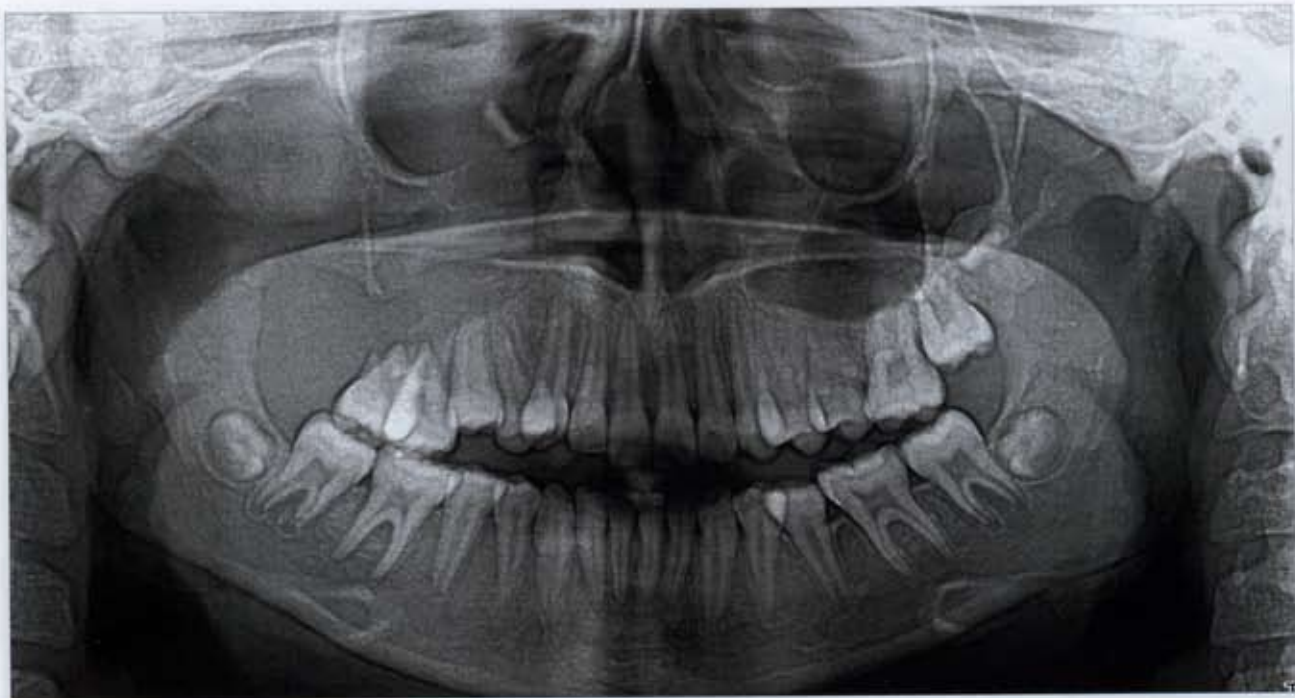


467. Ортопантомограмма. Та же пациентка (рис. 466), послеоперационный дефект нижней челюсти восстановлен титановым эндопротезом и фрагментом подвздошной кости. В левой части ортопантомограммы тень эндопротеза частично накладывается на изображение дистальных отделов верхней и нижней челюсти



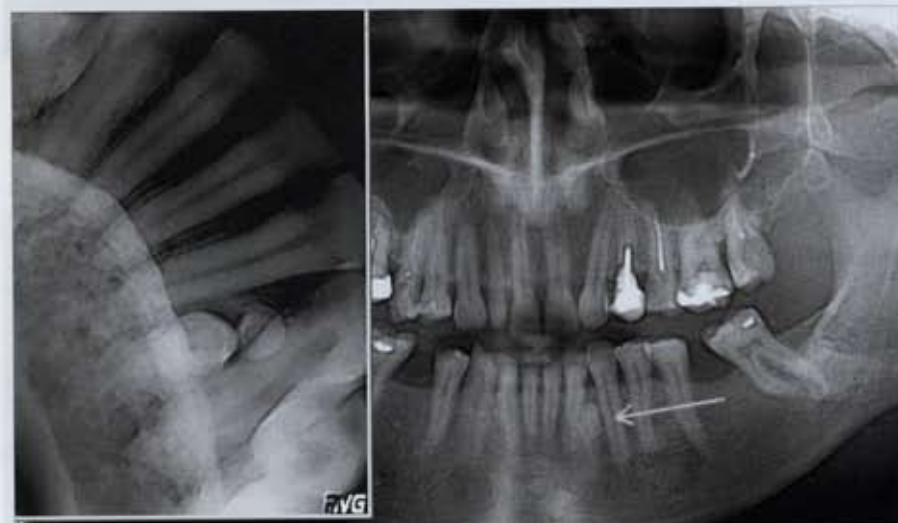
468. Ортопантомограмма. Состояние через пять лет после операции по поводу амелобластомы нижней челюсти справа. Послеоперационный дефект восстановлен фрагментом подвздошной кости. Рецидив опухоли в области ветви челюсти справа

© Виноградов Ю.Н.
Д.С.ФИЗ — инновационно-технологический центр
в амбулатории
Амнекроматико-
Бионика им.Н.Д.Михайлова
ЗАО «Инновационно-
технологический центр
Амнекроматико-
Бионика им.Н.Д.Михайлова» в г.Москве
автор: Н.Д.Михайлов
издательство: Издательство
«Инновационно-технологический центр Амнекроматико-Бионика им.Н.Д.Михайлова»



469. Ортопантомограмма.

Саркома верхней челюсти справа. Рентгенологическая тень альвеолярного отростка верхней челюсти справа, а также частично височной и клиновидной костей отсутствует. Зачаток 1.8 зуба проецируется на область орбиты около естественного отверстия верхнечелюстного синуса



470. Комбинированное изображение — внутриротовая окклюзионная рентгенограмма и ортопантомограмма.

Сложная одонтома нижней челюсти слева в области межзубной перегородки 3.2, 3.3



471. Комбинированное изображение — ИРЗ 3.5, внутриротовая окклюзионная рентгенограмма и ортопантомограмма. Сложная одонтома нижней челюсти слева, располагающаяся язычно в области проекции корней 3.5, 3.6 зубов



472. ИРЗ импактного 1.1. Сложная одонтома, вестибулярная дистопия 1.2



474. Фрагмент ортопантомограммы. Хронический остеомиелит нижней челюсти. Состояние после многократных операций секвестрэктомии



473. Ортопантомограмма. Сложная одонтома верхней челюсти справа, импактный 1.5 зуб. Вестибулярная дистопия 4.5, 4.7 зубов



◀ 475. ИРЗ 3.2, 3.3. остеомиелит нижней челюсти



477. Фрагмент ортопантомограммы. Вариант строения — длина корня 3.5 зуба превышает длину корня клыка



478. ИРЗ 3.7. Вариант строения — апикальные части корней 3.7 загнуты в виде крючка

◀ 476. ИРЗ 3.3. Макродентия



479. ИРЗ 3.7, 3.8. Вариант строения — изогнутые корни 3.8.
Фрактура инструмента в апикальной части дистального
корня 3.7



480. ИРЗ 4.8. Вариант строения — неравномерно изогнутые
корни 4.8



481. Ортопантомограмма. Подкожные косметологические имплантаты - «золотые нити»

Приложение
А. Ортопантомограмма. Имплантаты «Золотые нити»
— это вкладыш из золота, состоящий из золотой проволоки и золотого сплава.

Б. Ортопантомограмма. Имплантаты «Золотые нити»
— это вкладыш из золота, состоящий из золотой проволоки и золотого сплава.

С. Ортопантомограмма. Имплантаты «Золотые нити»
— это вкладыш из золота, состоящий из золотой проволоки и золотого сплава.

Д. Ортопантомограмма. Имплантаты «Золотые нити»
— это вкладыш из золота, состоящий из золотой проволоки и золотого сплава.

Е. Ортопантомограмма. Имплантаты «Золотые нити»
— это вкладыш из золота, состоящий из золотой проволоки и золотого сплава.

Ж. Ортопантомограмма. Имплантаты «Золотые нити»
— это вкладыш из золота, состоящий из золотой проволоки и золотого сплава.